Топографическая анатомия брюшной полости

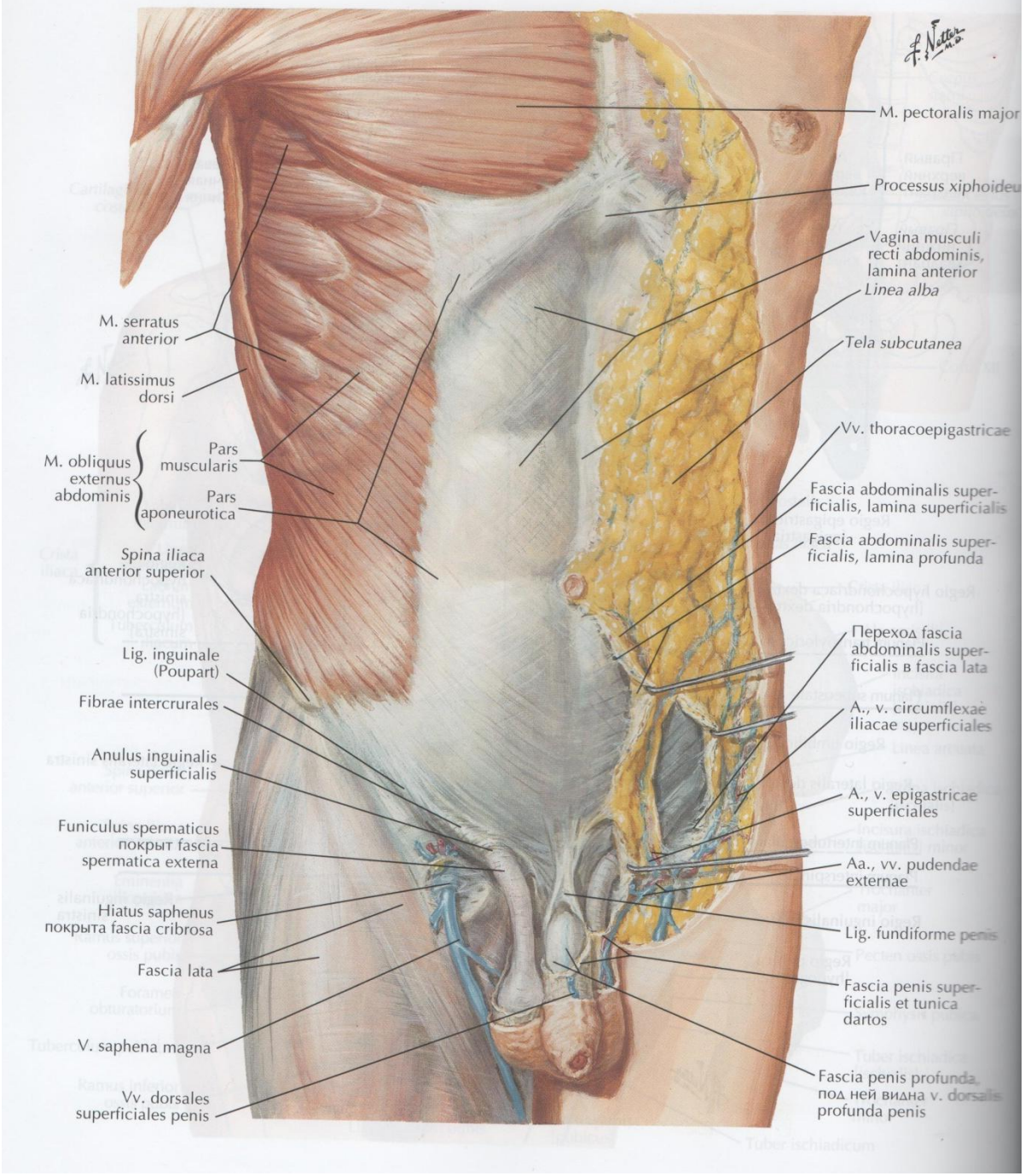

Ф. Неттер, Атлас анатомии человека;
2017

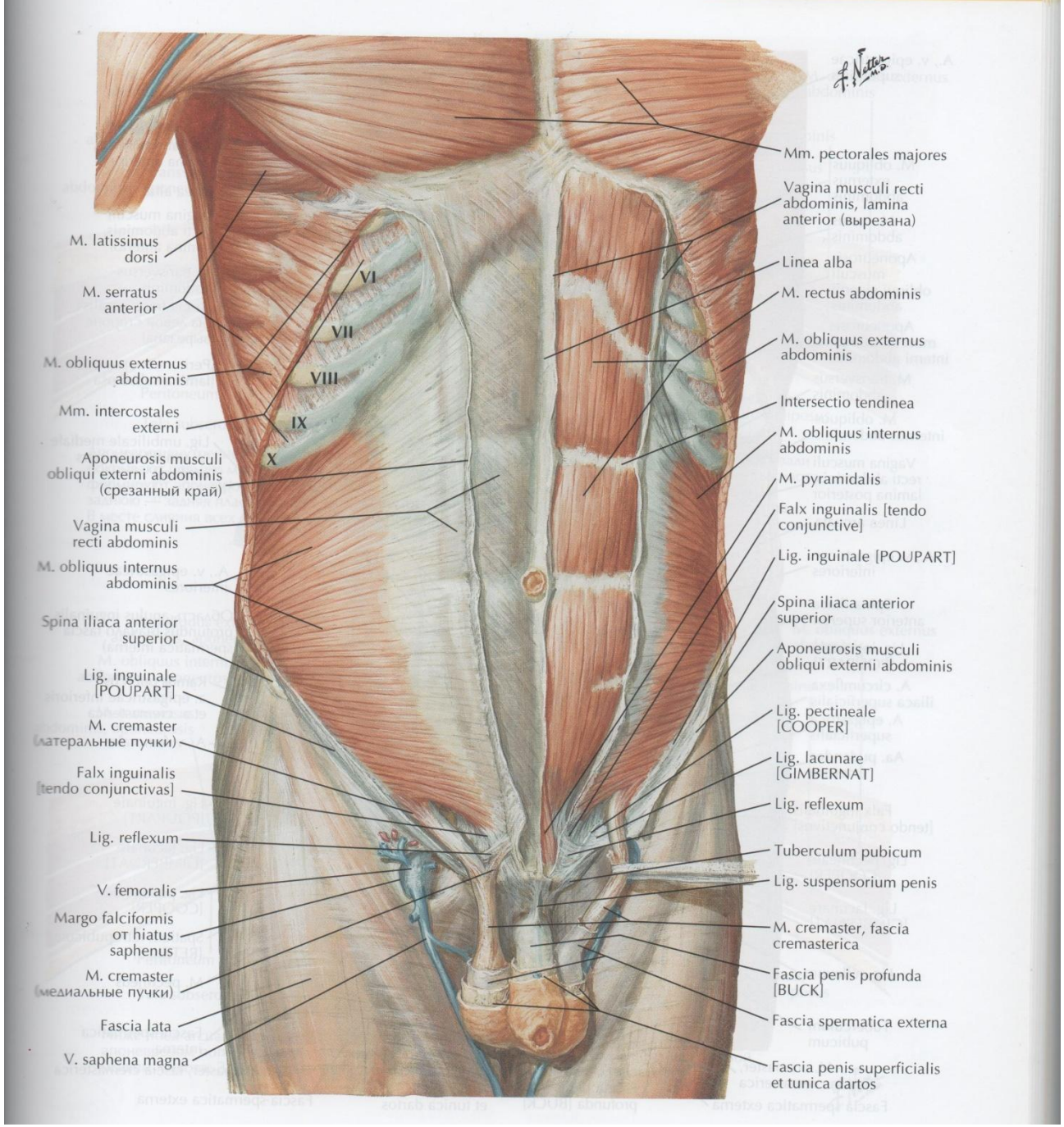

Ф. Неттер, Атлас анатомии человека;
2017

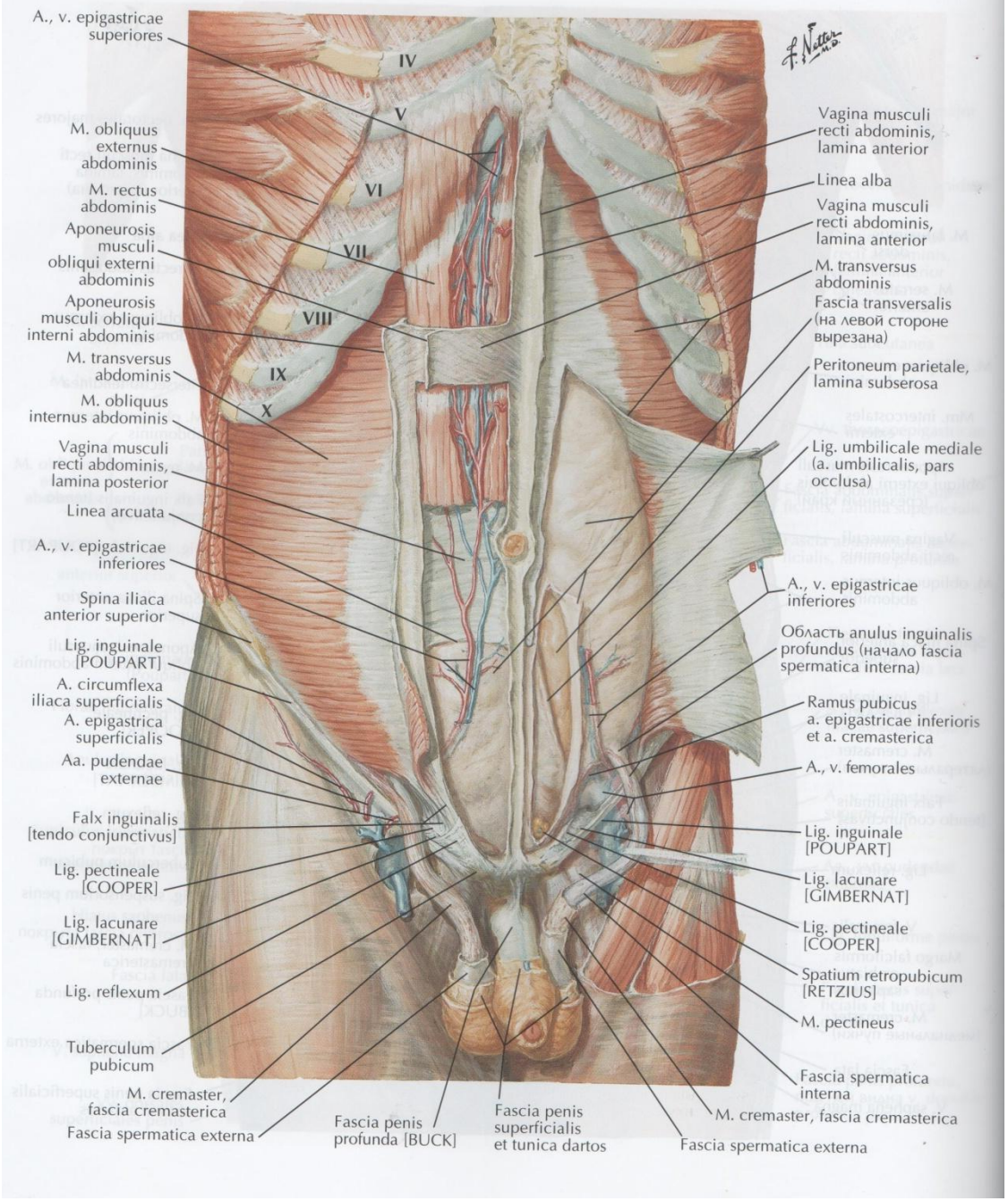

Ф. Неттер, Атлас анатомии человека;
2017

Срез выше linea arcuata

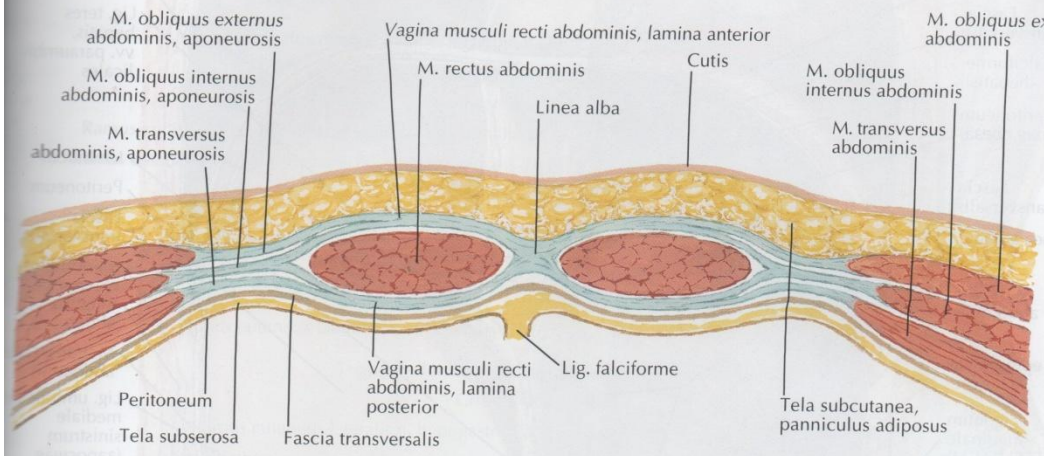

Апоневроз внутренней косой мышцы живота расщепляется на две пластинки, которые спереди и сзади покрывают прямую мышцу живота. Таким образом, переднюю стенку влагалища прямой мышцы живота формируют апоневроз наружной косой и передняя часть апоневроза внутренней косой мышцы, а заднюю — задняя пластинка апоневроза внутренней косой и апоневроз поперечной мышцы живота. В месте слияния всех апоневрозов по средней линии образуется linea alba

Срез ниже linea arcuata

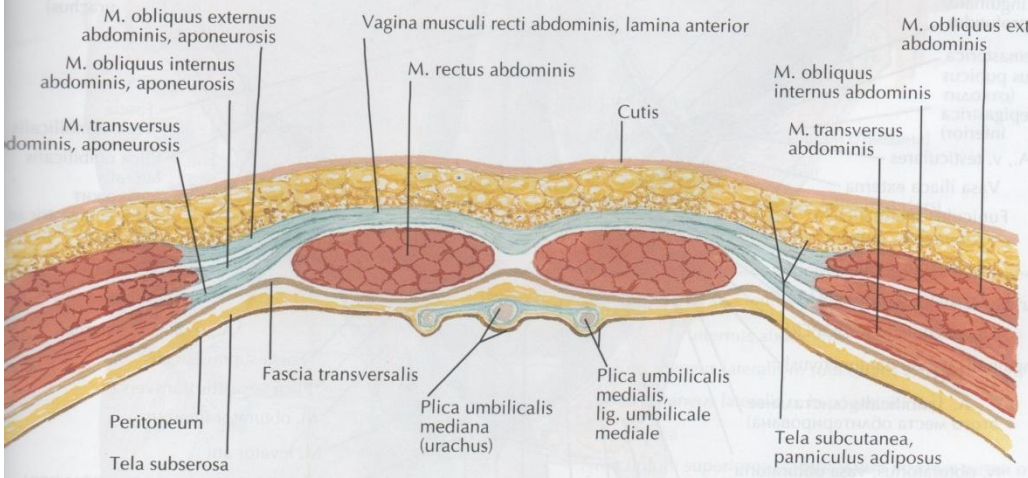

Ниже linea arcuata апоневрозы наружной и внутренней косых мышц живота вместе с апоневрозом поперечной мышцы живота формируют переднюю стенку влагалища прямой мышцы живота. Заднюю стенку влагалища образует только поперечная фасция

F. Netter M.D.

Ф. Неттер, Атлас анатомии человека;
2017

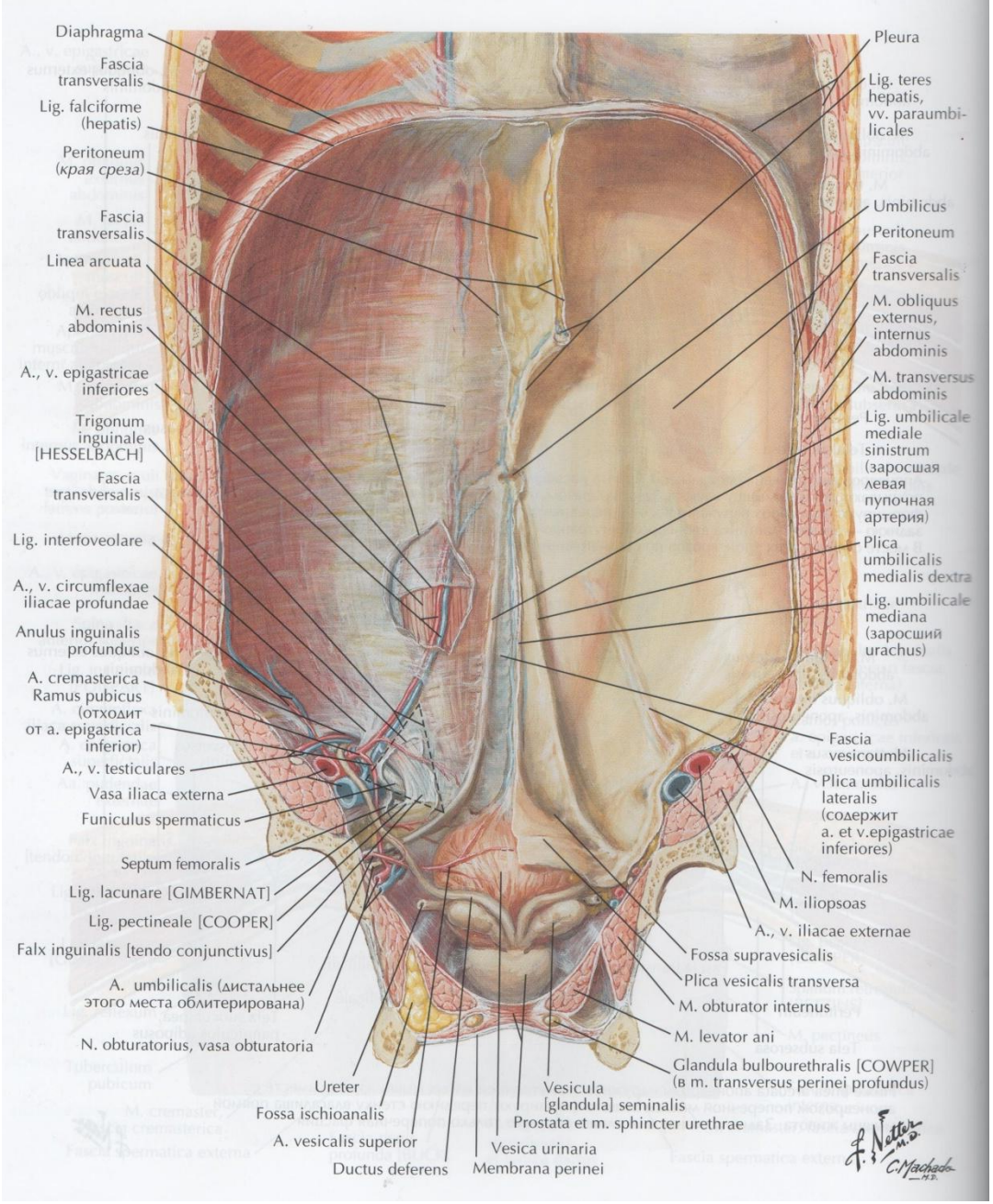

Ф. Неттер, Атлас анатомии человека;
2017

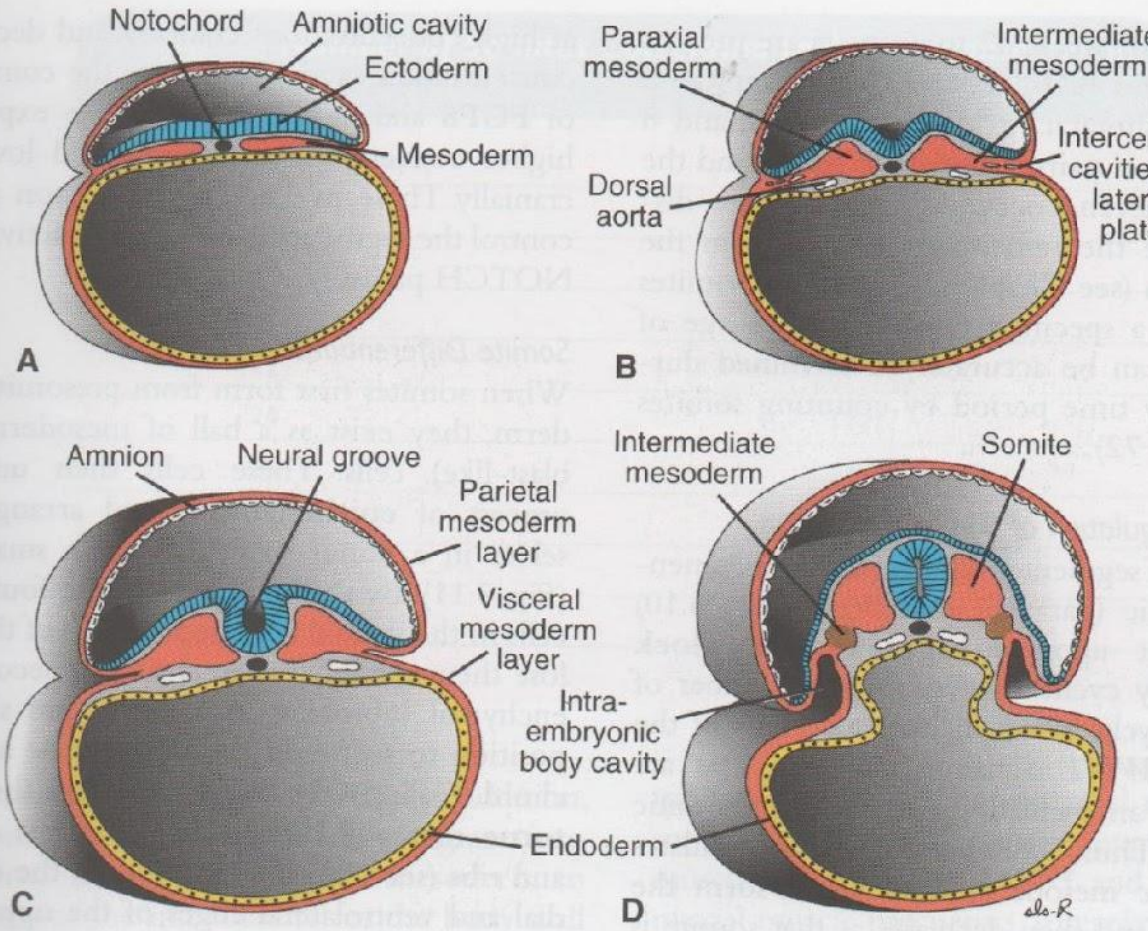

Figure 6.8 Transverse sections showing development of the mesodermal germ layer. **A.** Day 17. **B.** Day 19. **C.** Day 20. **D.** Day 21. The thin mesodermal sheet gives rise to paraxial mesoderm (future somites), intermediate mesoderm (future excretory units), and the lateral plate, which is split into parietal and visceral mesoderm layers lining the intraembryonic cavity.

T.W.Sadler, Medical Embryology; 2013

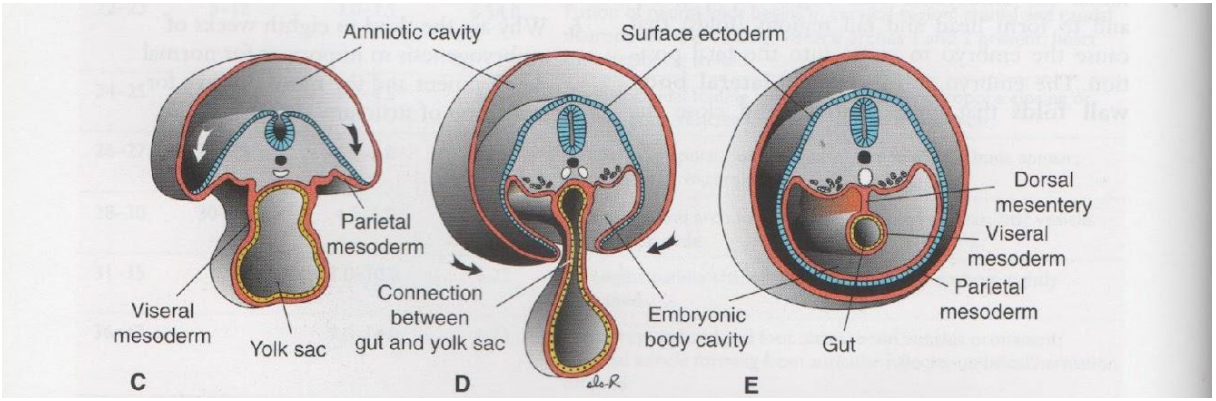

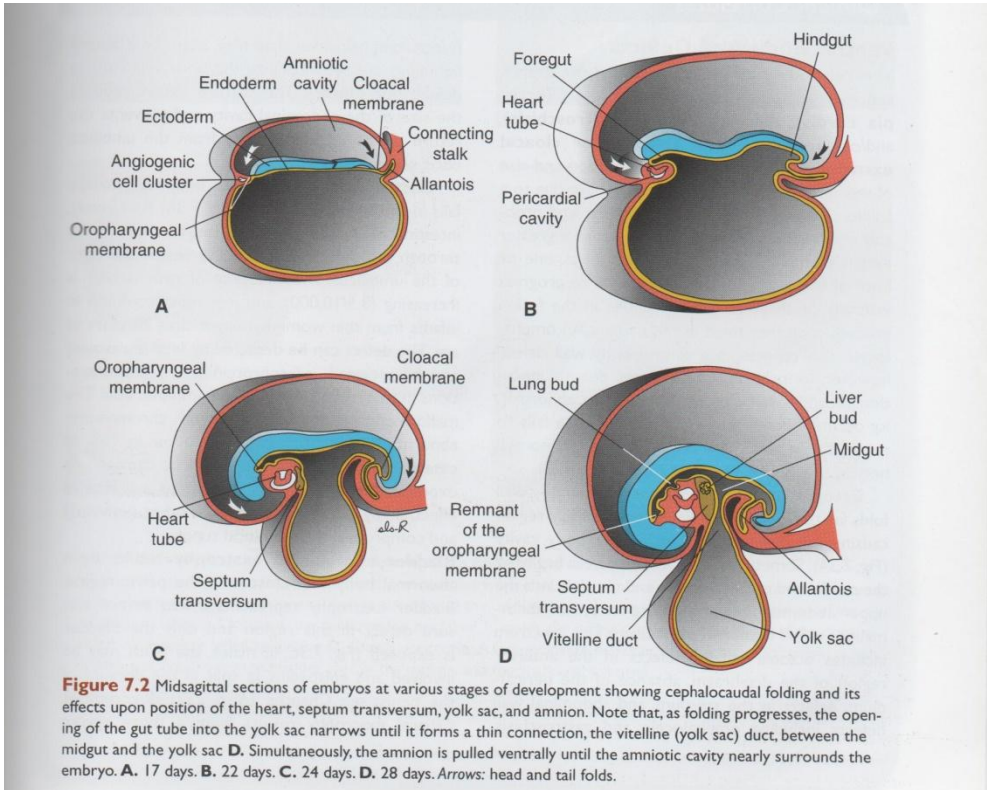

Figure 7.2 Midsagittal sections of embryos at various stages of development showing cephalocaudal folding and its effects upon position of the heart, septum transversum, yolk sac, and amnion. Note that, as folding progresses, the opening of the gut tube into the yolk sac narrows until it forms a thin connection, the vitelline (yolk sac) duct, between the midgut and the yolk sac **D.** Simultaneously, the amnion is pulled ventrally until the amniotic cavity nearly surrounds the embryo. **A.** 17 days. **B.** 22 days. **C.** 24 days. **D.** 28 days. *Arrows:* head and tail folds.

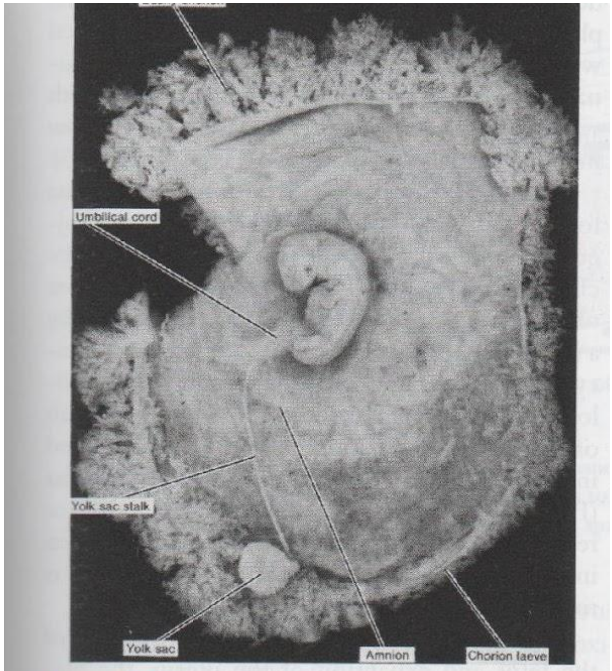

Figure 8.9 A 6-week embryo. The amniotic sac and chorionic cavity have been opened to expose the embryo, showing the bushy appearance of the trophoblast at the embryonic pole in contrast to small villi at the abembryonic pole. Note the connecting stalk and yolk sac with its extremely long vitelline duct.

T.W.Sadler, Medical Embryology; 2013

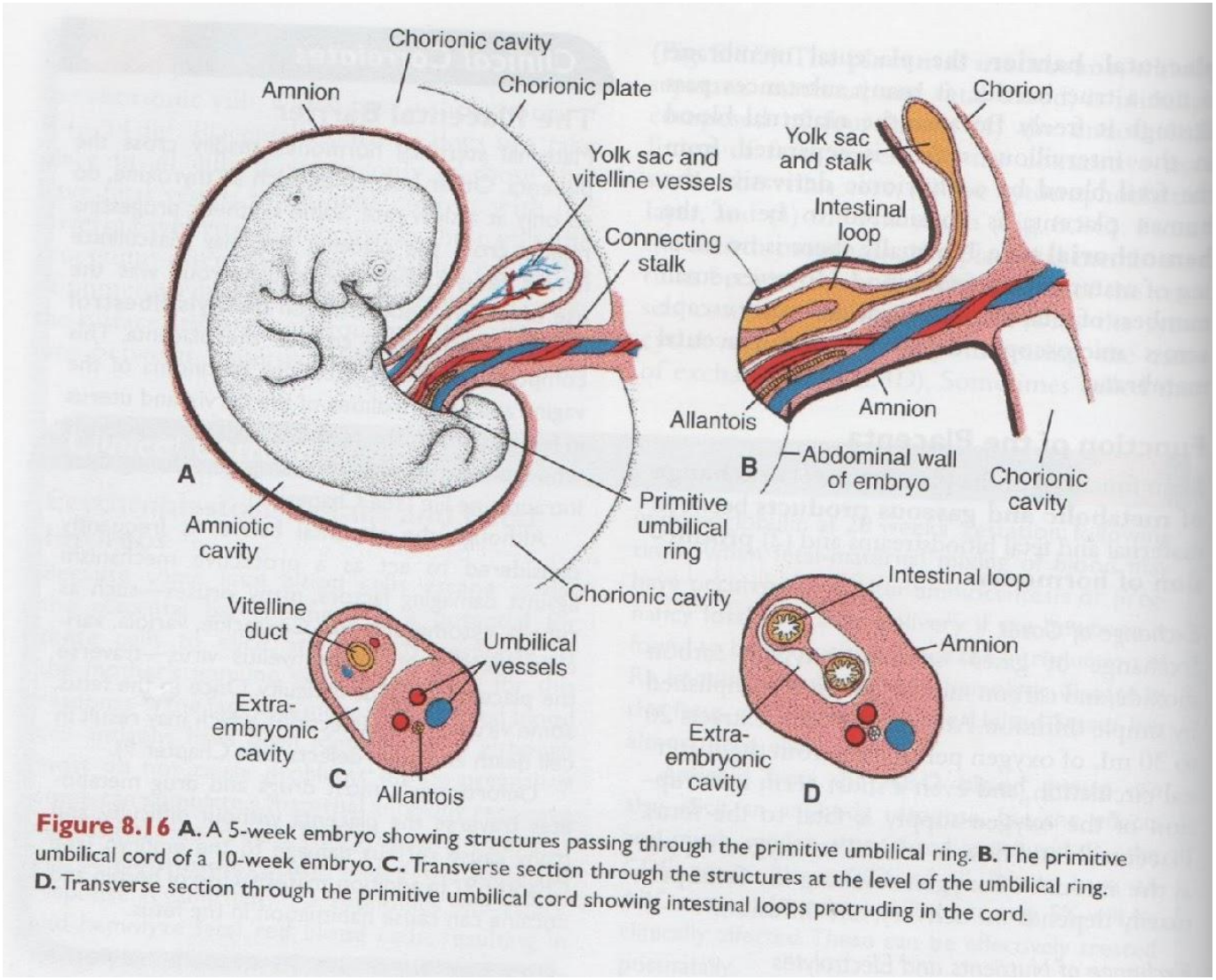

Figure 8.16 **A.** A 5-week embryo showing structures passing through the primitive umbilical ring. **B.** The primitive umbilical cord of a 10-week embryo. **C.** Transverse section through the structures at the level of the umbilical ring. **D.** Transverse section through the primitive umbilical cord showing intestinal loops protruding in the cord.

T.W.Sadler, Medical Embryology; 2013

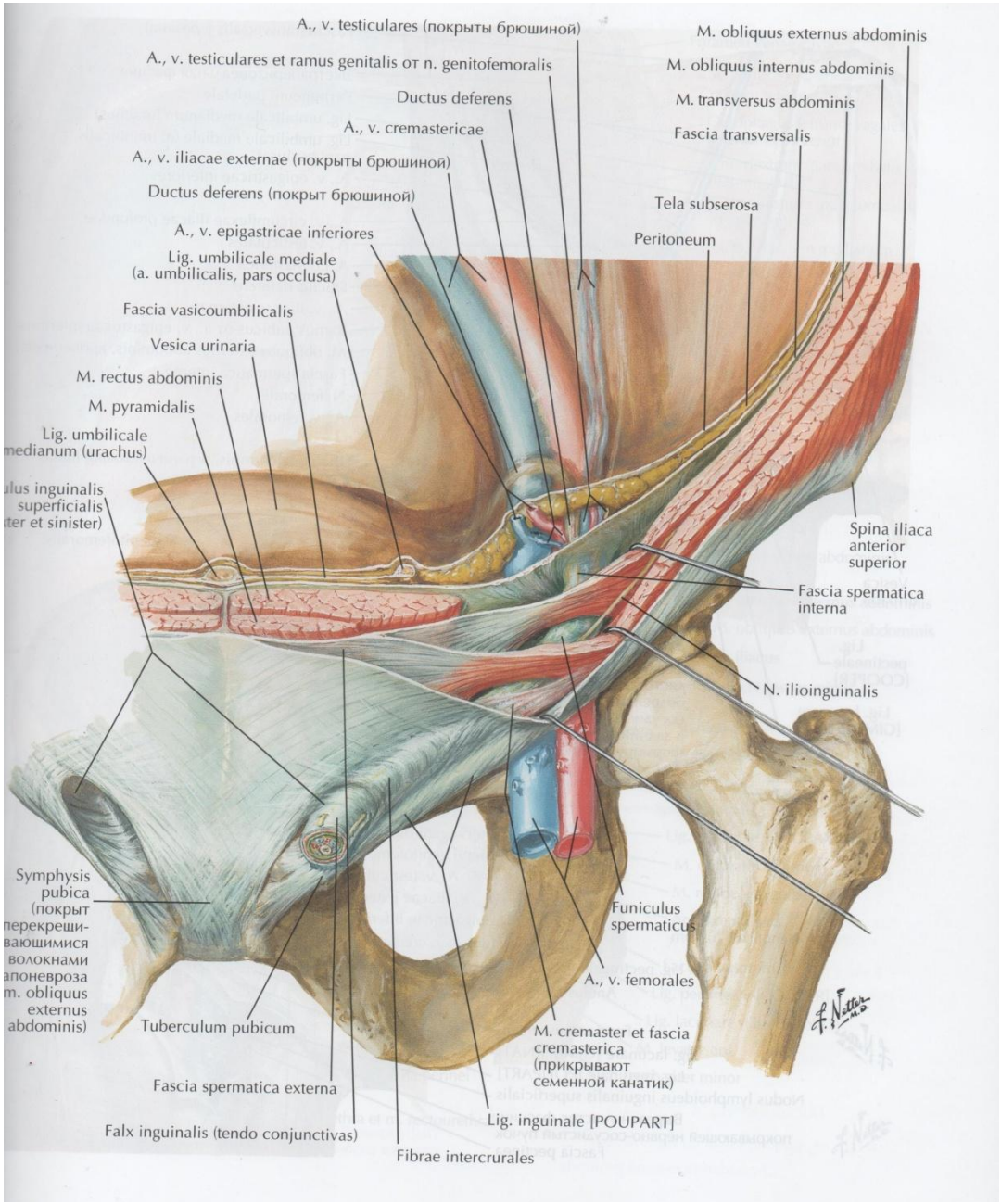

Ф. Неттер, Атлас анатомии человека;
2017

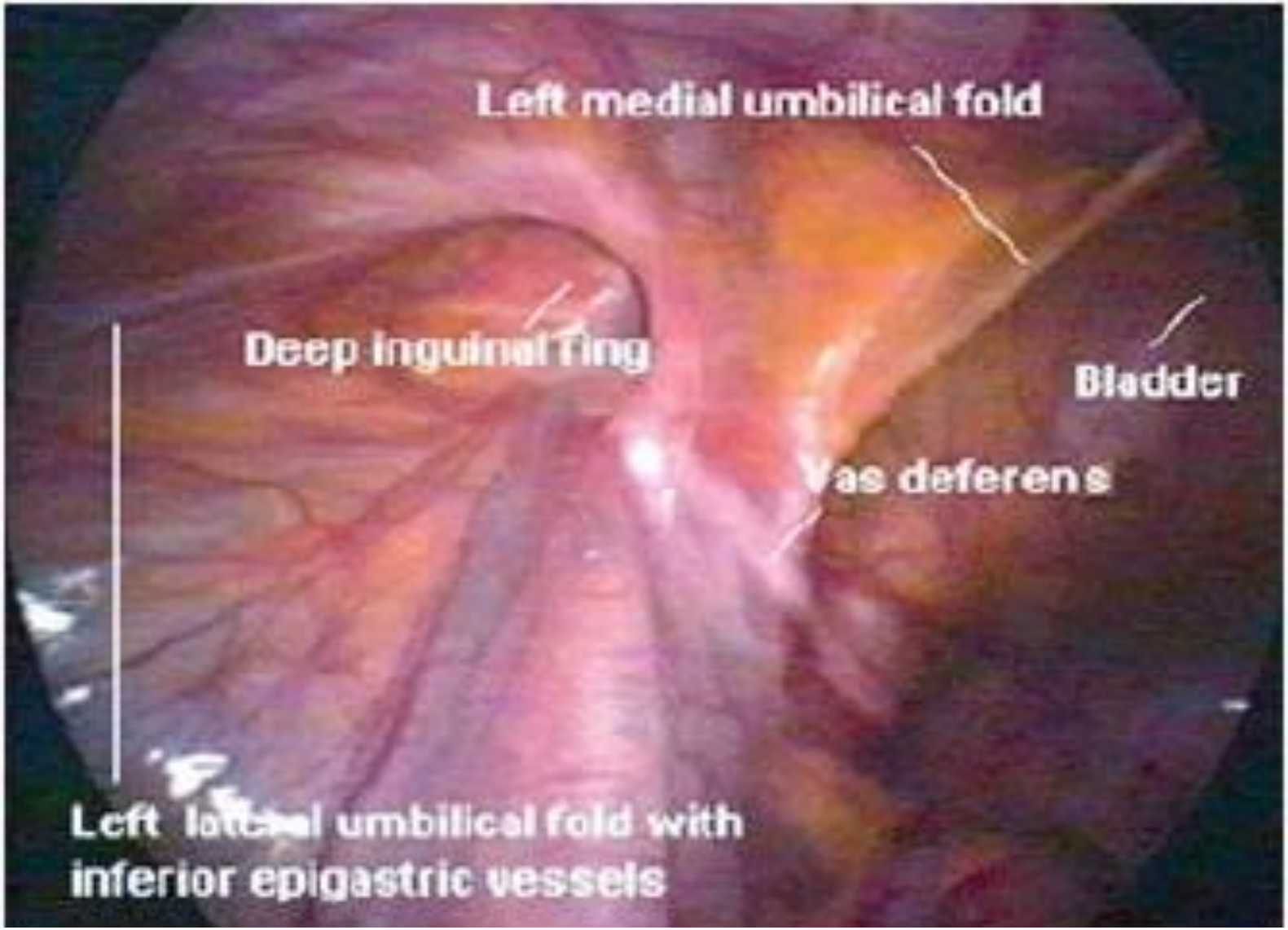
Left medial umbilical fold
Deep inguinal ring
Bladder
Vas deferens
Left lateral umbilical fold with
inferior epigastric vessels

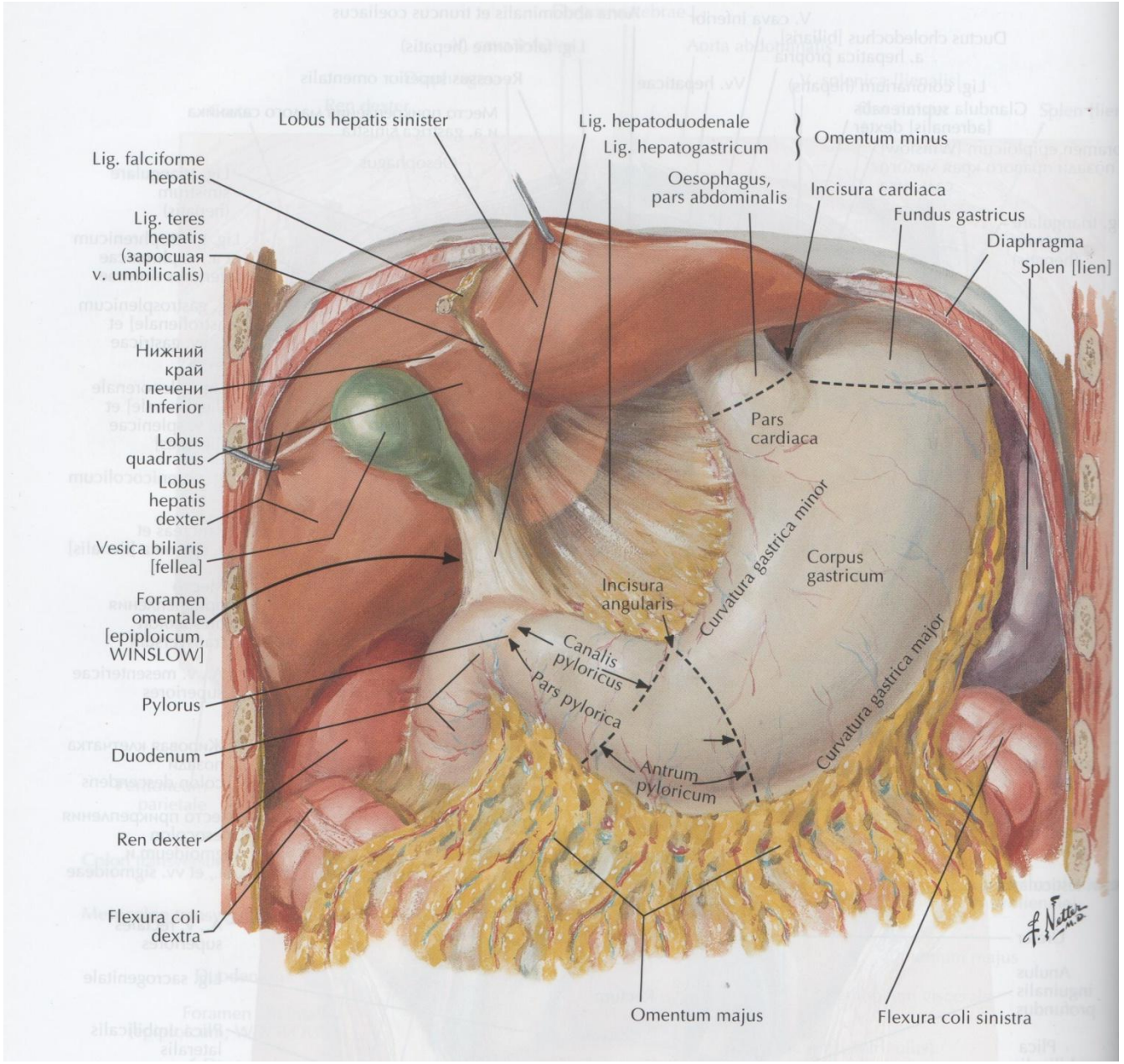

Ф. Неттер, Атлас анатомии человека;
2017

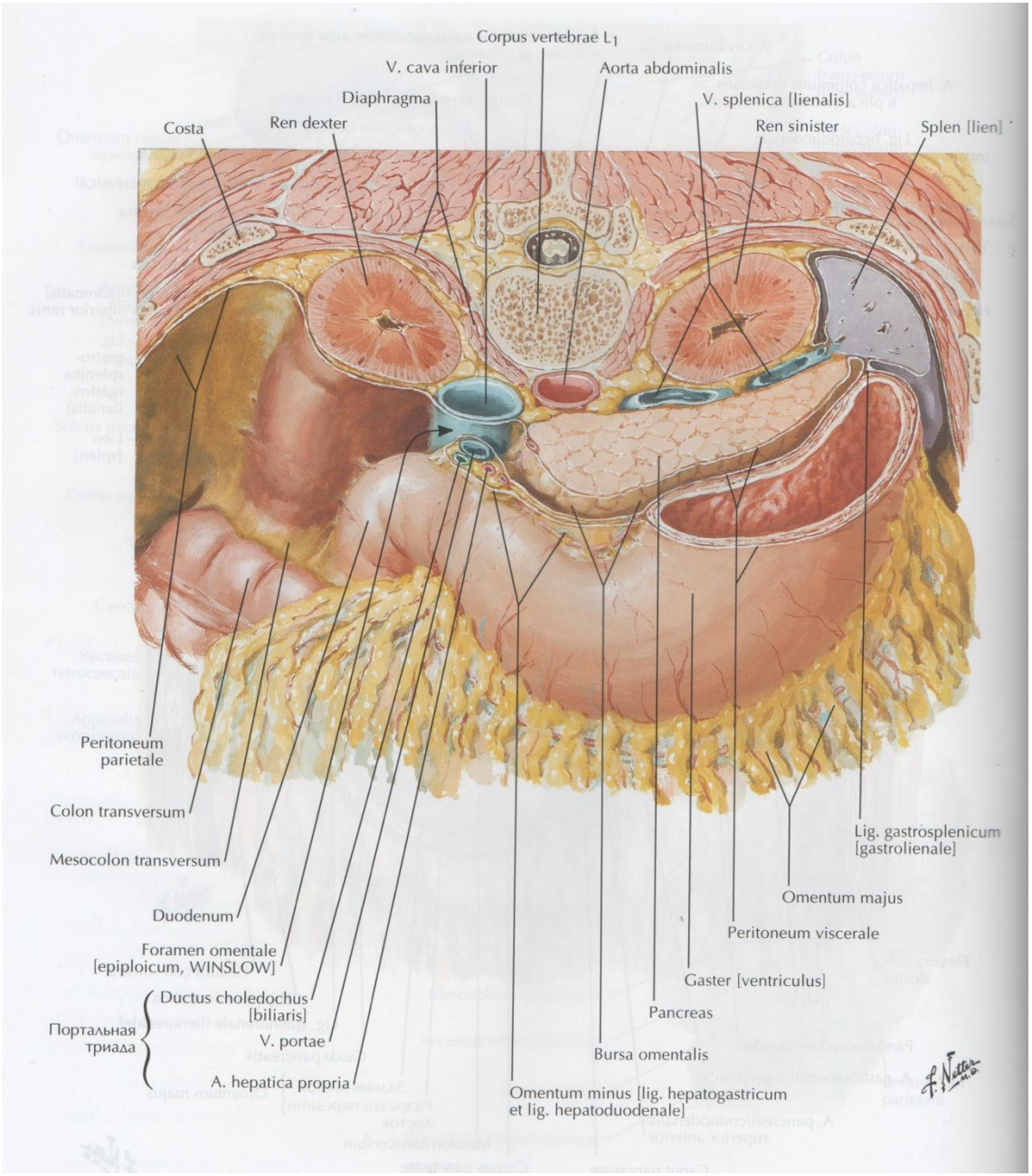

Ф. Неттер, Атлас анатомии человека;
2017

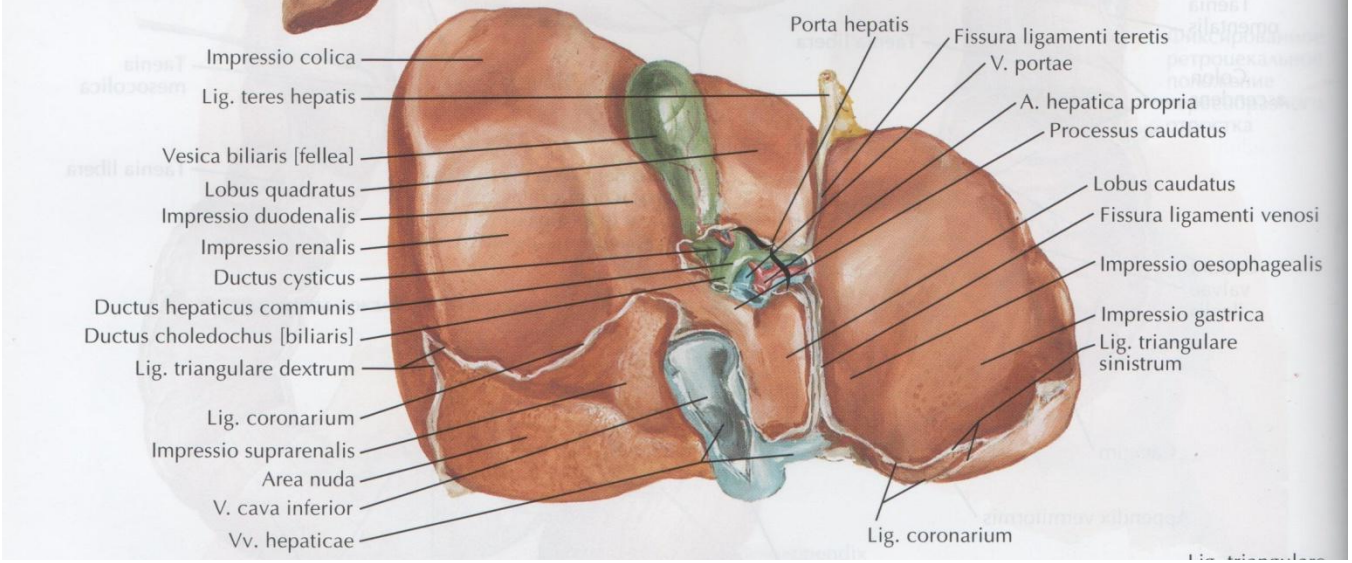

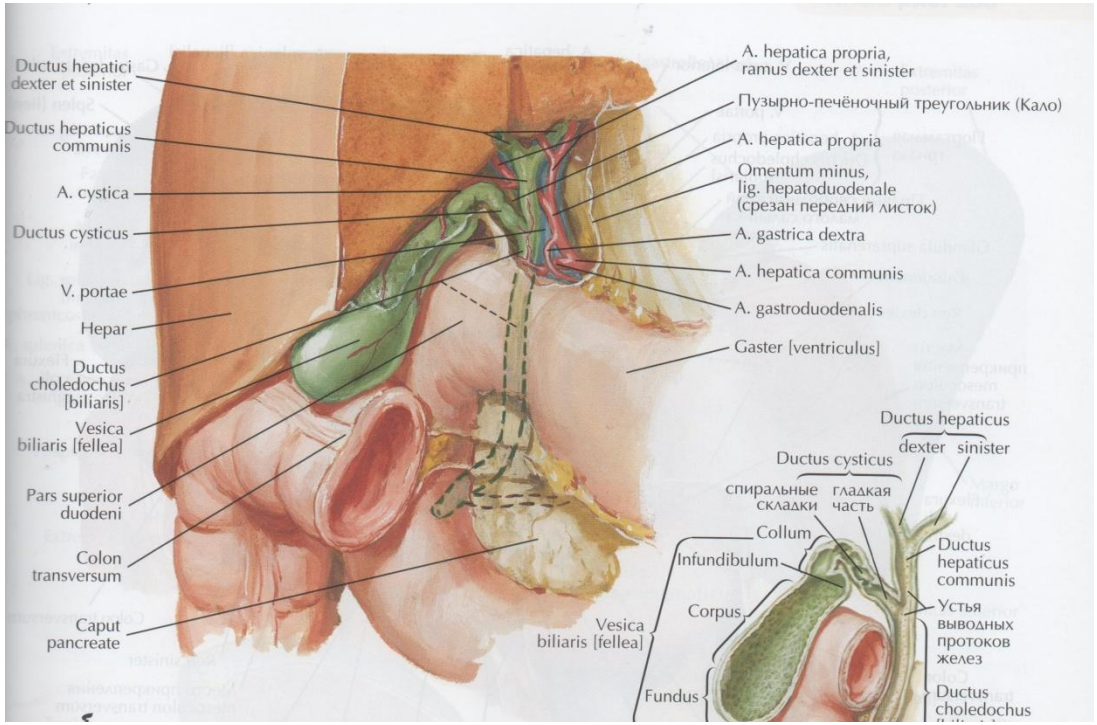

Ф. Неттер, Атлас анатомии человека;
2017

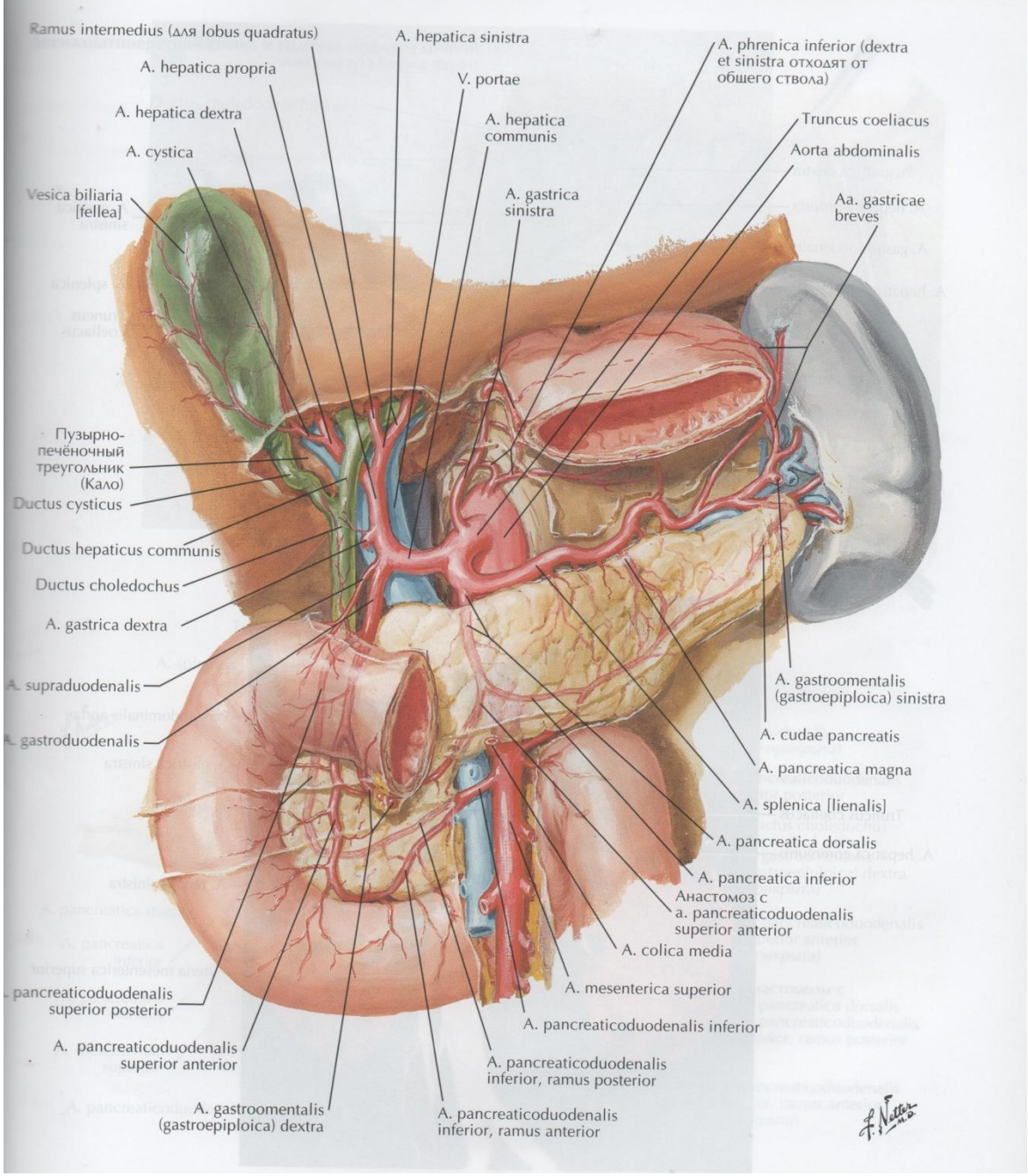

Ф. Неттер, Атлас анатомии человека;
2017

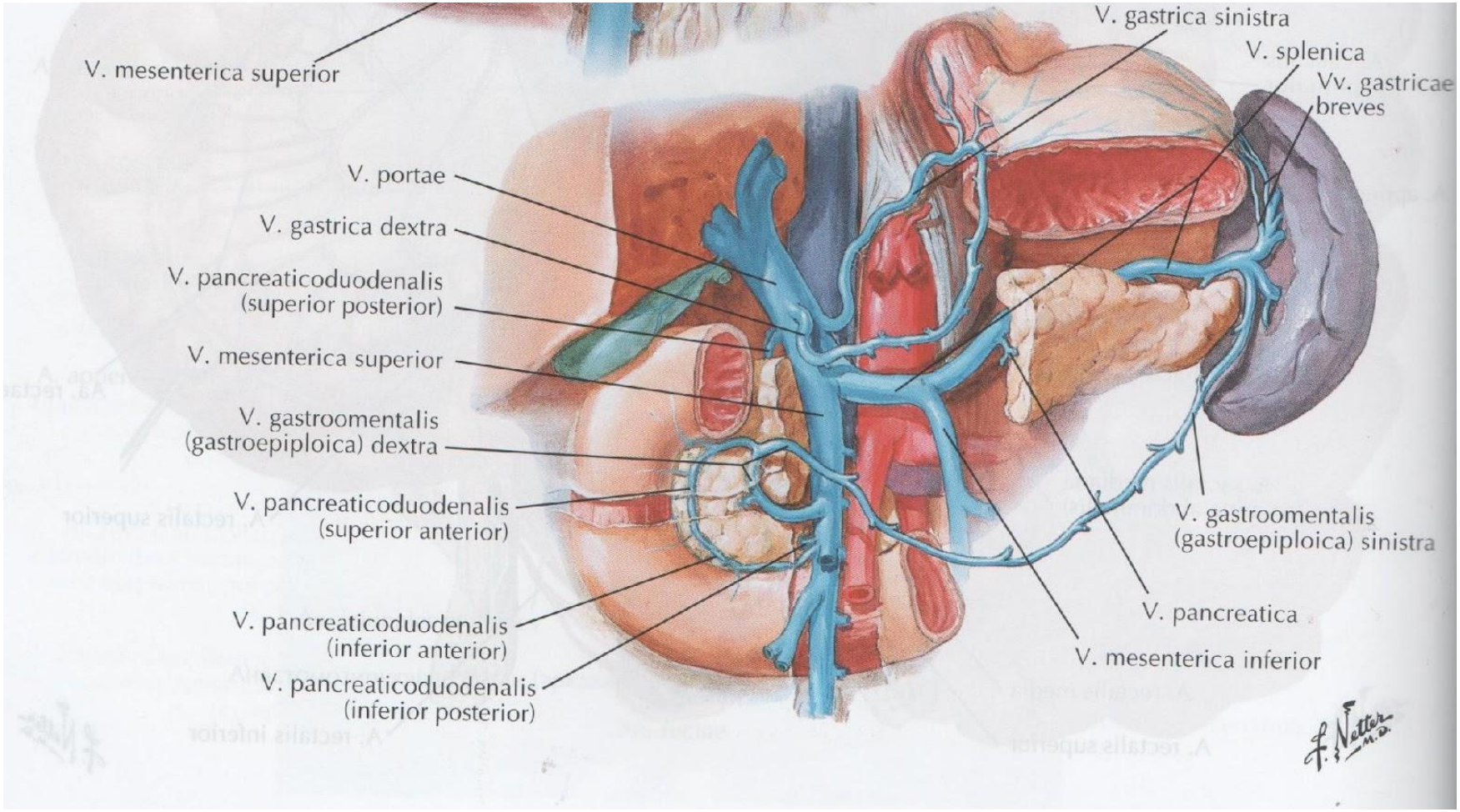

Ф. Неттер, Атлас анатомии человека;
2017

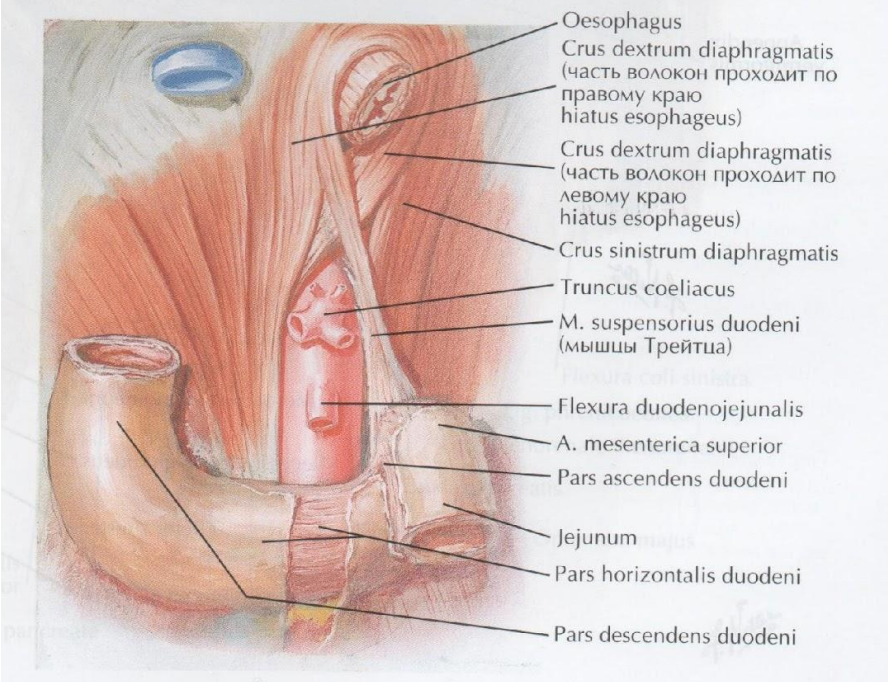

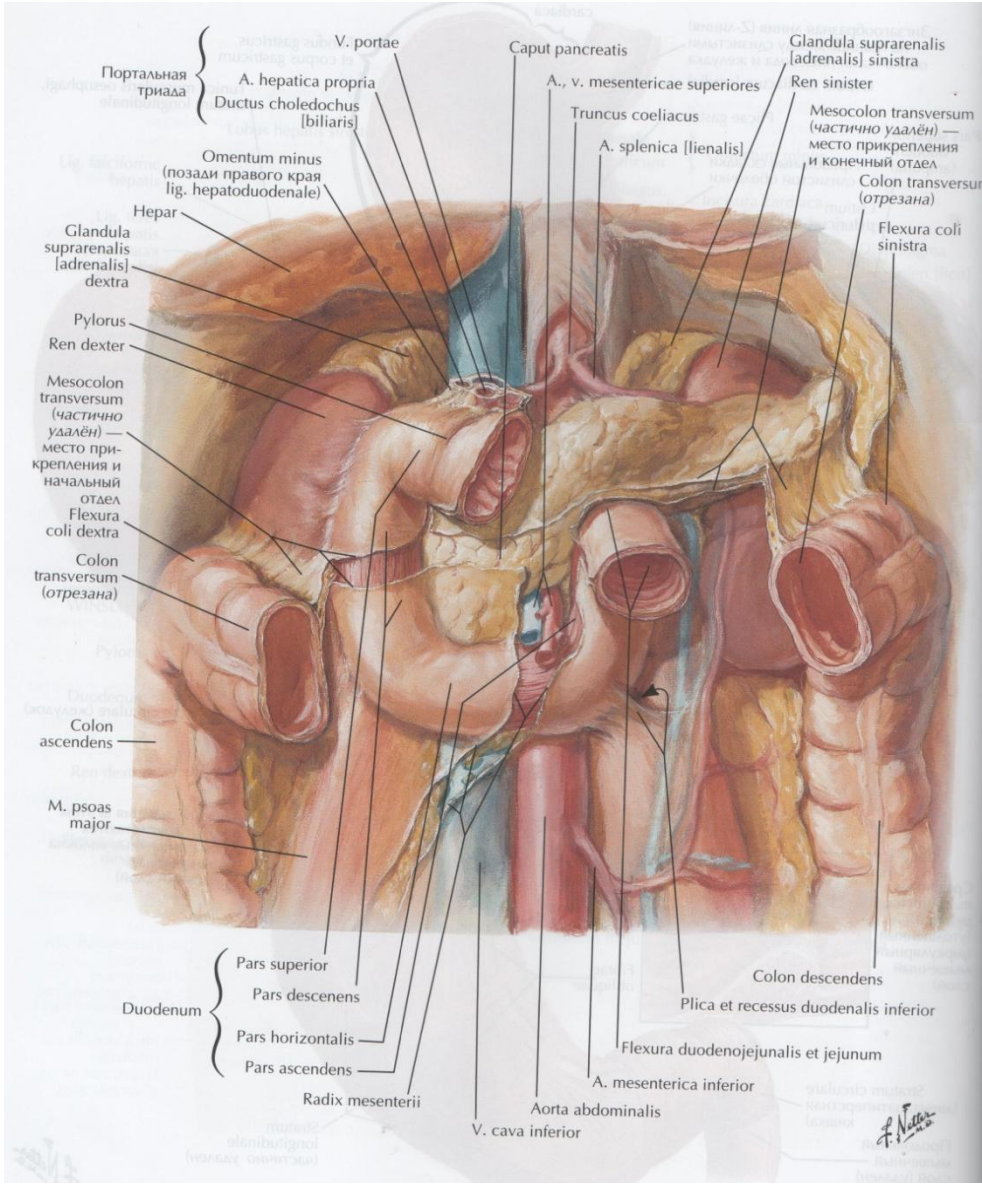

Ф. Неттер, Атлас анатомии человека; 2017

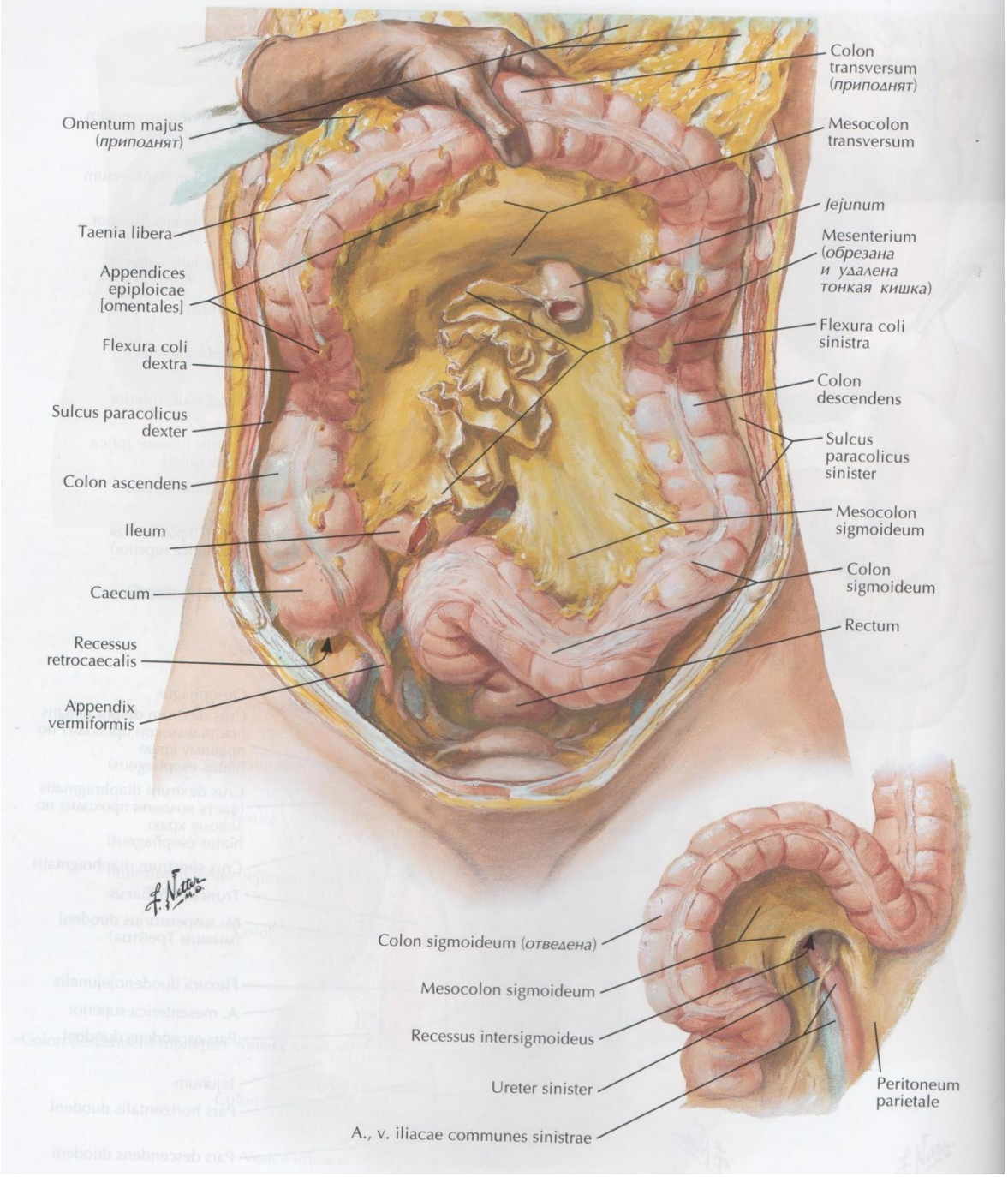

Ф. Неттер, Атлас анатомии человека;
2017

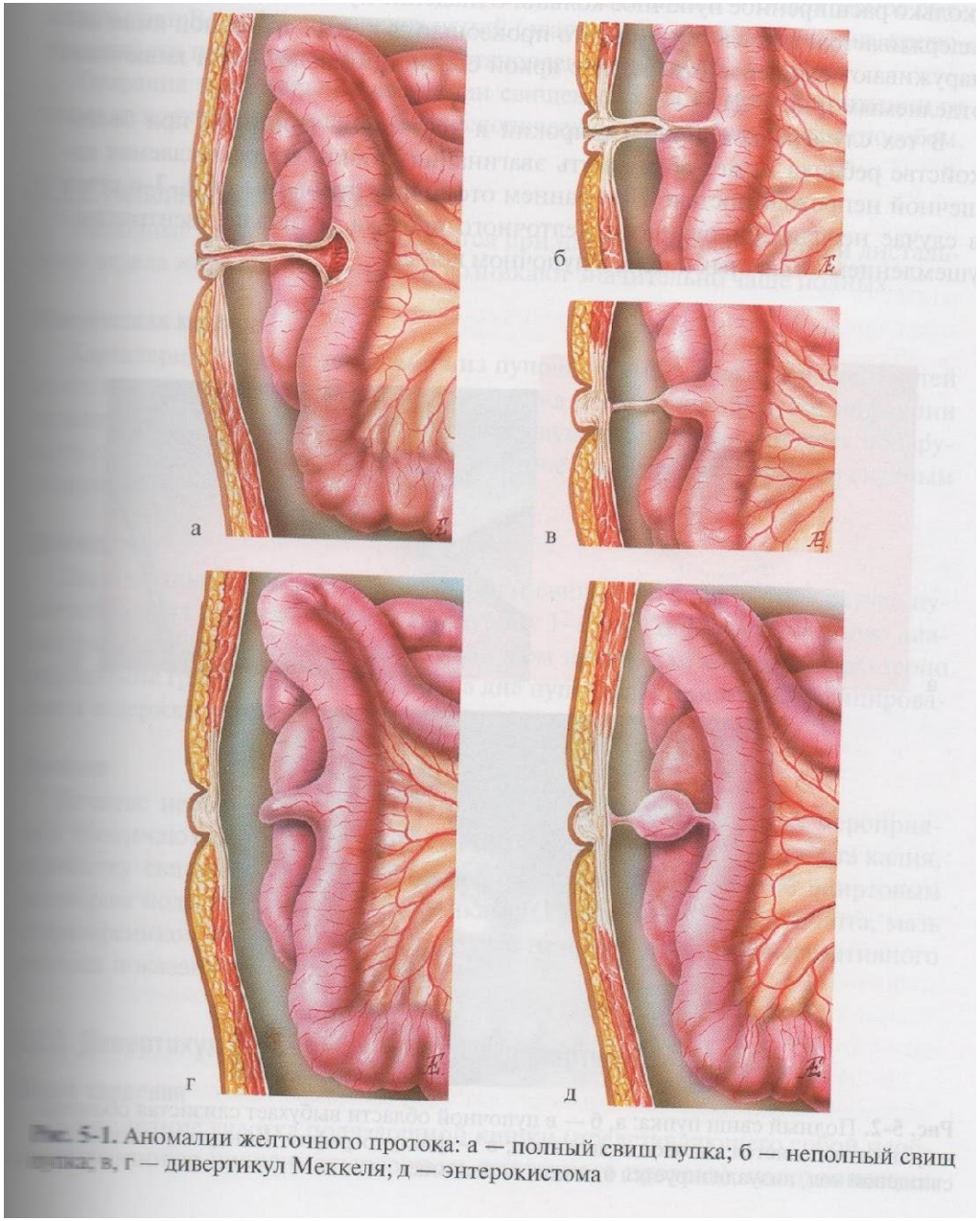

Рис. 5-1. Аномалии желточного протока: а — полный свищ пупка; б — неполный свищ пупка; в, г — дивертикул Меккеля; д — энтерокистома

Детская хирургия; под ред. Ю.Ф.Исакова, А.Ю.Разумовского;
2016

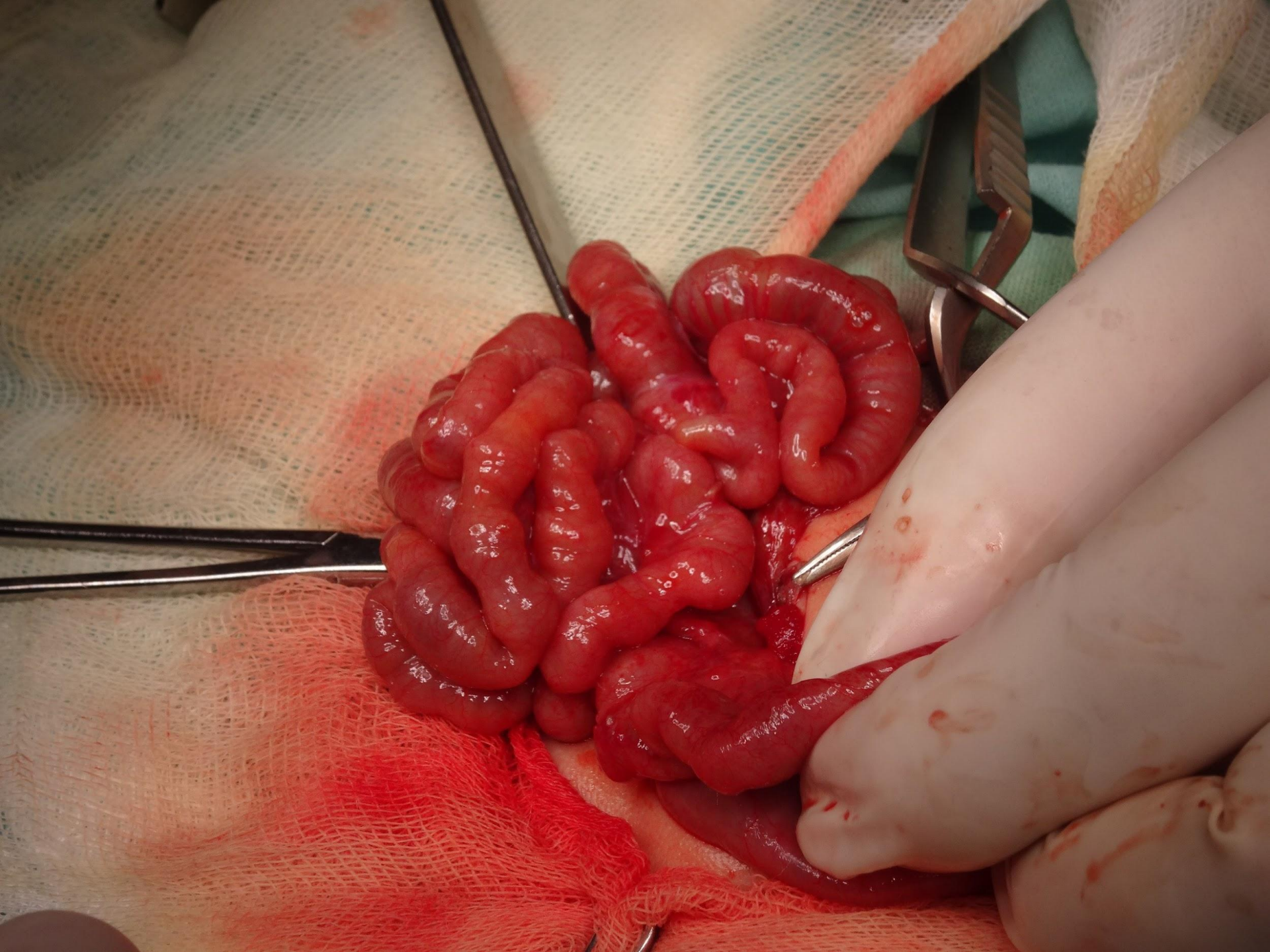

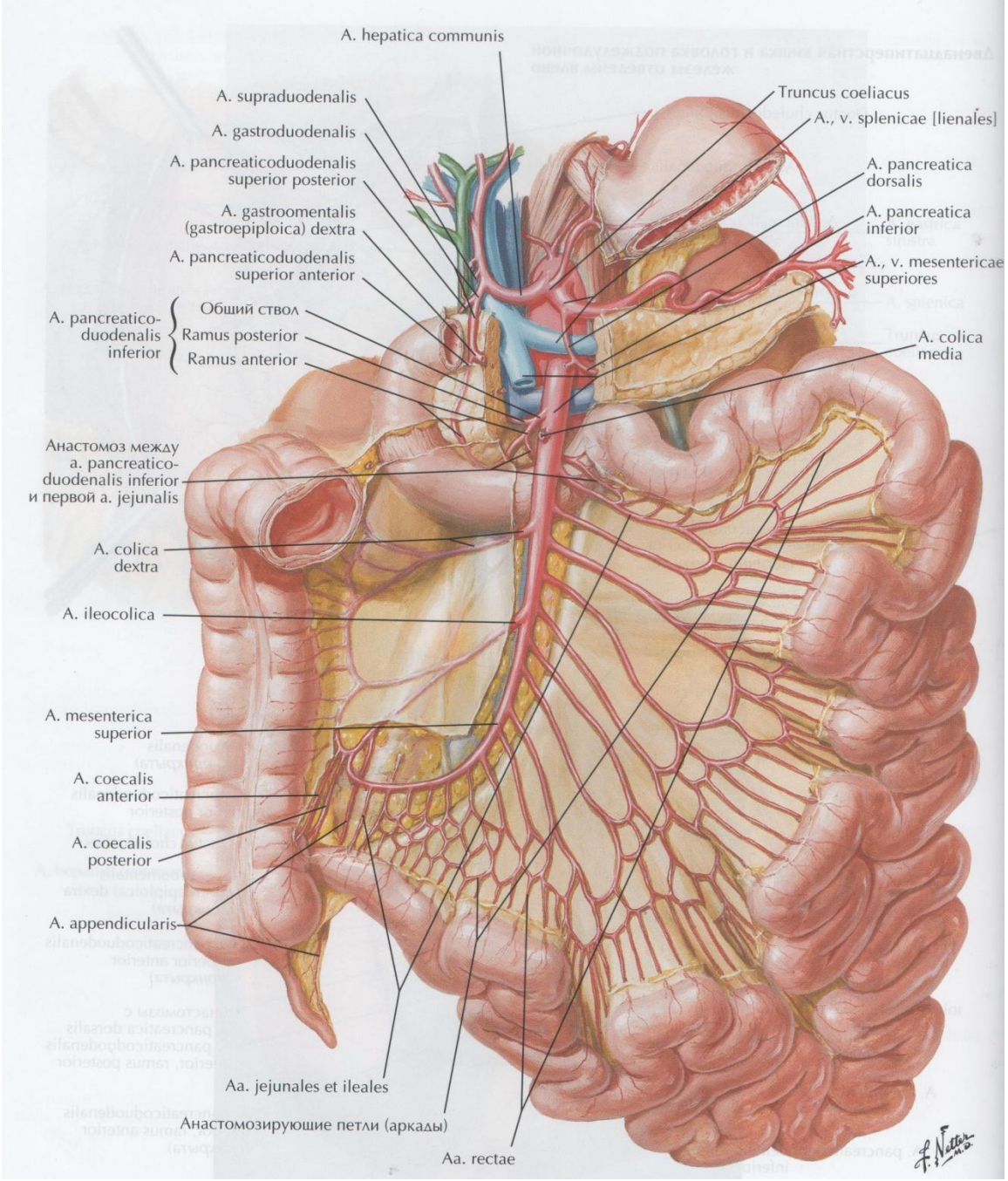

Ф. Неттер, Атлас анатомии человека;
2017

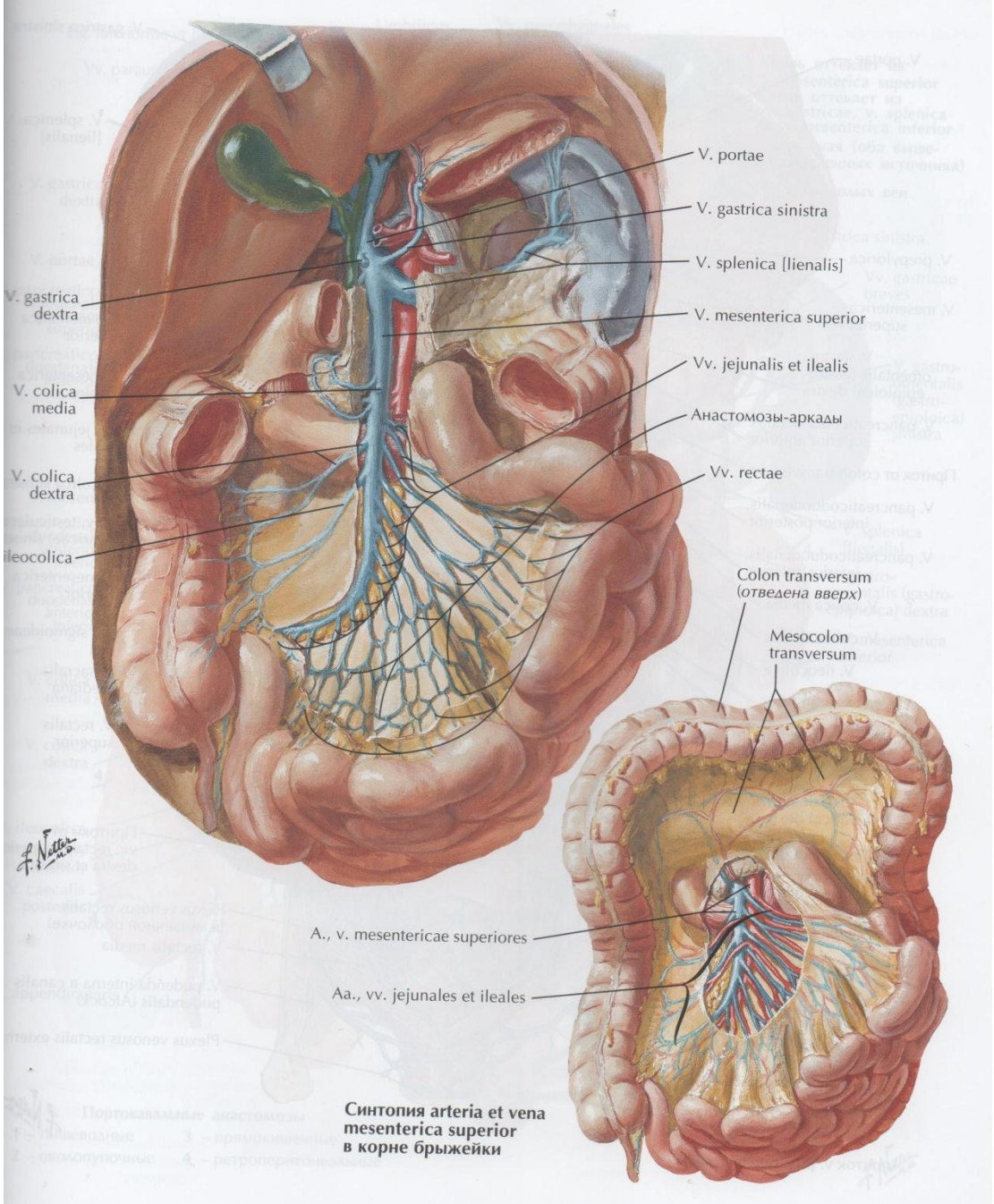

Ф. Неттер, Атлас анатомии человека;
2017

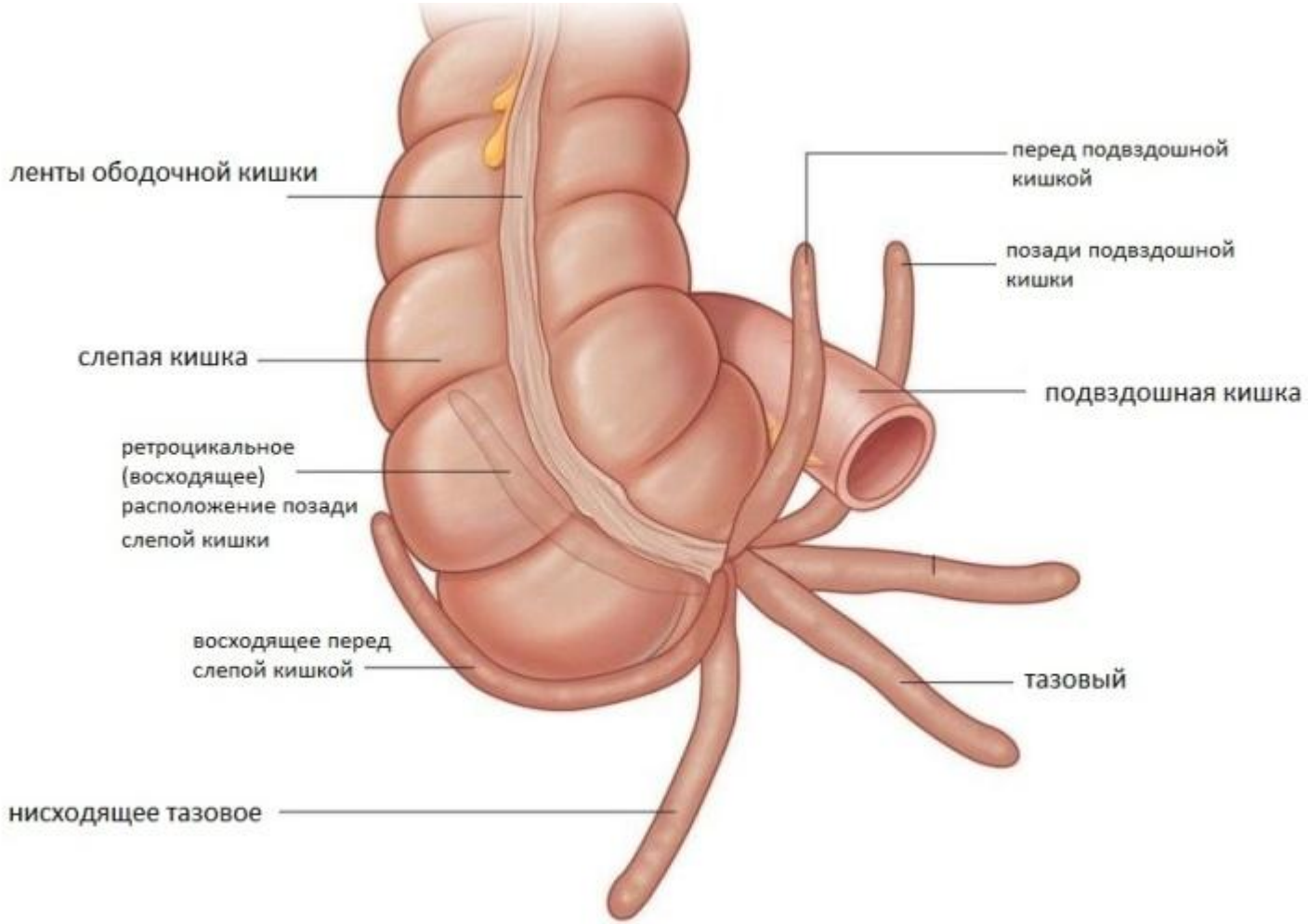
ленты ободочной кишки
перед подвздошной кишкой
позади подвздошной кишки
слепая кишка
подвздошная кишка
ретроцикальное (восходящее) расположение позади слепой кишки
восходящее перед слепой кишкой
тазовый
нисходящее тазовое

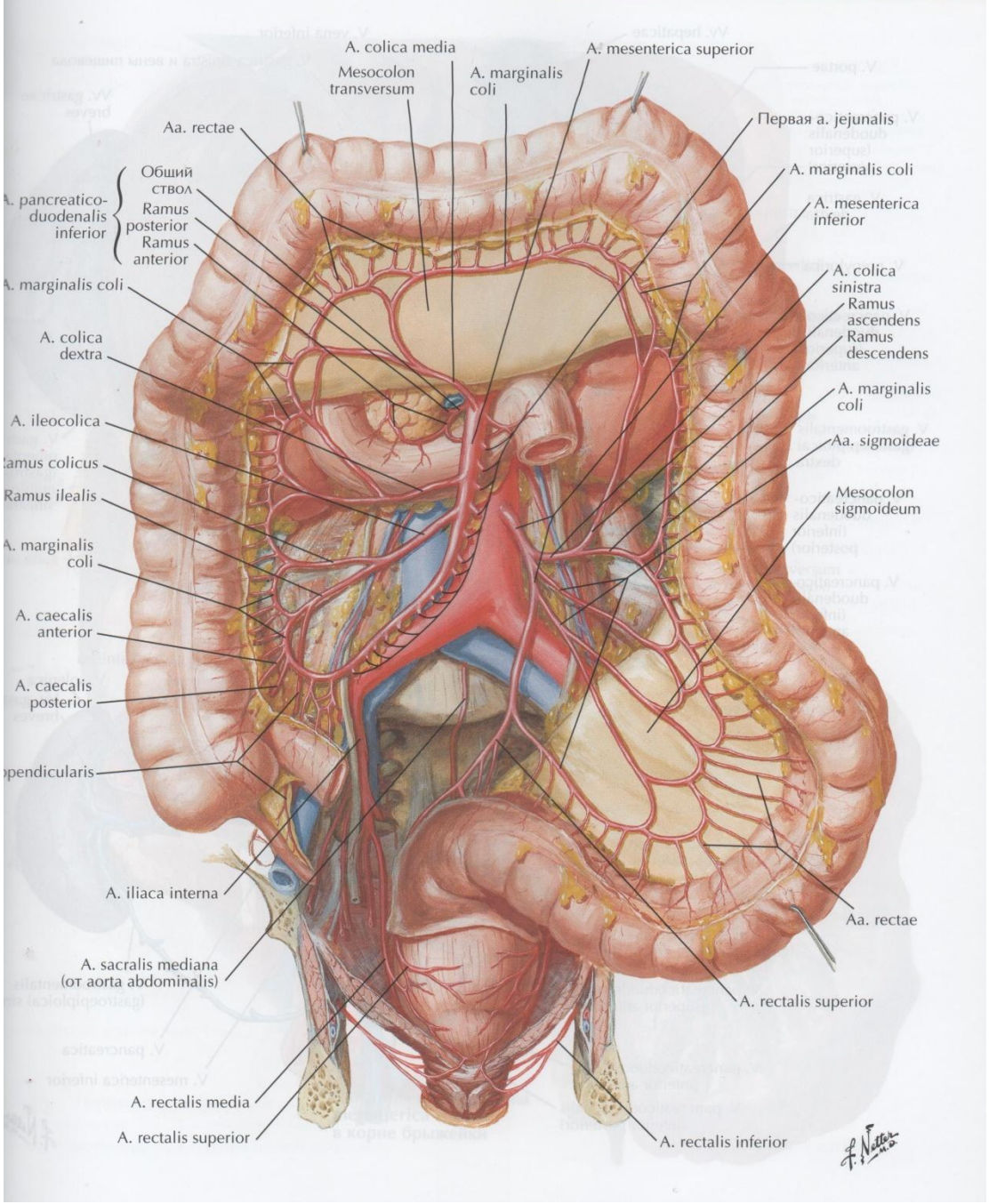

Ф. Неттер, Атлас анатомии человека;
2017